

01;04

## ФОРМИРОВАНИЕ ПЛАЗМЕННЫХ КОНФИГУРАЦИЙ — ГАЛАТЕЙ ТИПА “ПОЯС”

© Г.И.Дудникова, А.И.Морозов, М.П.Федорук

Магнитные ловушки с  $\beta = 1$  представляют значительный интерес как с точки зрения физики плазменных систем, так и в связи с приложениями: плазменной технологией, проблемой управляемого термоядерного синтеза и др. Однако их реализация (без щелей) достигается лишь в виде систем, содержащих токонесящие проводники, омываемые плазмой. Ловушки, в которых магнитные конфигурации создаются не только опертymi о Землю катушками, но и проводниками с током, погруженными в плазму, были в [1] названы общим именем “галатей”, а купающиеся в плазме проводники — “миксинами”.

В [2] была предложена равновесная плазменная конфигурация — “Галатей”, названная “Поясом”, которая представляет собой тороидальный квадруполь, образованный двумя миксинами, между которыми по плазме течет азимутальный ток. Однако в настоящее время, из-за соображений простоты, экспериментально (в режиме электродного разряда [3]) изучаются прямые (“плоские”) модели “Пояса”. При этом вид образующейся плазменной конфигурации существенно зависит от взаимной ориентации тока в миксине ( $J_\mu$ ) и тока в плазме ( $J_\pi$ ). Если эти токи направлены в одну сторону ( $J_\pi J_\mu > 0$ ), то образуется конфигурация “ $\alpha$ -типа”. Если же  $J_\pi J_\mu < 0$ , то реализуются конфигурации “ $\beta$ -типа”.

Наряду с экспериментальным изучением “Пояса” к настоящему времени выполнен ряд его теоретических исследований. Так, в работе [2] были построены весьма общие решения уравнений Грэда–Шафранова для магнитобарических характеристик  $p(\psi)$  в виде линейных и квадратичных сплайнов. В [4] были построены  $\alpha$ - и  $\beta$ -конфигурации с помощью конформных отображений для случая бесконечно тонких переходных слоев плазма–поле.

Весьма подробное рассмотрение, особенно  $\alpha$ -конфигураций, было выполнено в [5] с помощью решения [2] для  $p(\psi)$  в вид линейного сплайна

$$p(\psi) = p_0 \left( 1 - \frac{\psi}{\psi_0} \right), \quad \psi < \psi_0,$$

$$p(\psi) = 0, \quad \psi > \psi_0.$$

Однако анализ в рамках идеальной плазмостатики, выполненный в указанных выше работах, оставляет без ответа много вопросов, в том числе о выборе вида  $p(\psi)$  для тех или иных экспериментальных условий. Ответы на многие из них могут дать численные расчеты формирования конфигураций "Пояса" методом установления. Первое численное исследование формирования "Пояса" в режиме прямого разряда было выполнено в работе [6]. В модели был сделан ряд упрощений: миксины предполагались прозрачными для плазмы, а ток в них был жестко задан. Поэтому такие расчеты могли дать ответ о динамике плазмы на начальной стадии. И действительно, было показано, что эволюция идет в нужном направлении.

Данная работа посвящена построению более совершенной (по сравнению с [6]) МГД — модели формирования "Поясов" с непрозрачными миксинами, обладающими к тому же определенными электродинамическими характеристиками. Основное внимание уделено качественным особенностям процессов. Задачи оптимизации параметров "Пояса" и обстоятельного сравнения расчетов с экспериментом здесь не ставились.

Для описания динамики плазмы в ловушках-галатях типа "Пояс" используем приближение одножидкостной магнитной гидродинамики.

Уравнения одножидкостной МГД (без учета излучения) имеют следующий вид:

$$\frac{\partial \rho}{\partial t} + \operatorname{div} \rho \mathbf{u} = 0, \quad (1)$$

$$\rho \left( \frac{\partial \mathbf{u}}{\partial t} + (\mathbf{u} \nabla) \mathbf{u} \right) = -\nabla p + \frac{1}{4\pi} [\Delta \mathbf{A} \times \operatorname{rot} \mathbf{A}], \quad (2)$$

$$\frac{\partial \mathbf{A}}{\partial t} = [\mathbf{u} \times [\operatorname{rot} \mathbf{A}]] + \nu_m \Delta \mathbf{A}, \quad (3)$$

$$\frac{\partial p}{\partial t} + (\mathbf{u} \nabla) p = -\gamma p \operatorname{div} \mathbf{u} + \frac{\gamma - 1}{4\pi} \nu_m (\Delta \mathbf{A})^2 + \chi (\gamma - 1) \Delta T. \quad (4)$$

В системе уравнений (1)–(4)  $\rho$  — плотность плазмы,  $\mathbf{u}$  — ее среднемассовая скорость;  $p$ ,  $T$  — газодинамическое давление и температура плазмы соответственно;  $\mathbf{A}$  — векторный потенциал, связанный с напряженностью магнитного поля соотношением  $\mathbf{H} = \operatorname{rot} \mathbf{A}$ ;  $\nu_m = c^2/4\pi\sigma$  — магнитная вязкость,  $\sigma$  — проводимость плазмы,  $\chi$  — коэффициент теплопроводности. В качестве характерных параметров расчета выберем следующие:

магнитное поле —  $H_0 = 1 \text{ кГс}$ ;

длина —  $L = 10$  см;

характерная концентрация плазмы —  $n_0 = 10^{15}$  см<sup>-3</sup>;

скорость —  $V_A^0 \simeq H_0 / (4\pi\rho_0)^{1/2} \simeq 3.5 \cdot 10^6$  см/с;

характерное время —  $t_0 = L/V_A^0 \simeq 2.9 \cdot 10^{-6}$  с;

давление —  $p_0 = H_0^2/8\pi \simeq 4 \cdot 10^4$  дин/см<sup>2</sup>;

температура —  $T_0 \simeq 25$  эВ;

плотность тока —  $j_0 = \frac{cH_0}{4\pi L} \simeq 80$  см<sup>2</sup>.

Хотя, в общем случае, проводимость плазмы выбирается кулоновской, в расчетах, представленных ниже, она была фактически постоянной, поскольку “схемная” магнитная вязкость была (как правило) больше физической в силу выбранных параметров плазмы и шагов расчетной сетки. В представленных ниже расчетах коэффициент теплопроводности  $\chi$  полагался равным нулю.

Будем рассматривать двумерные течения плазмы в плоскости  $(x, y)$ . В этом случае отличная от нуля только одна компонента вектор-потенциала  $\mathbf{A} = (0, 0, \psi)$ .\*

Для простоты будем пока считать, что возникающее течение плазмы симметрично относительно осей  $x = 0, y = 0$ . Поэтому, ввиду симметрии задачи, будем рассматривать только первый квадрант  $0 \leq x \leq 1, 0 \leq y \leq 1$  (в безразмерных переменных).

Граничные условия на линиях  $x = 0, y = 0$  — естественные условия симметрии течения. На внешних границах расчетной области  $\Gamma$  задается электрическое поле в виде зависимости  $\psi$  от  $t$ :

$$\psi(t)|_{\Gamma} = \psi_0 \sin \omega t, \quad \omega t \leq \pi/2, \quad (5)$$

где  $\omega \simeq 0.5-1.0$ . Считается, что миксина занимает область  $x_0 \leq x \leq x_1, y_0 \leq y \leq y_1$ . При этом размер миксины составляет 1/5-1/10 часть от полной длины в каждом направлении.

Внутри объема миксины решается уравнение Пуассона

$$\Delta\psi = -\frac{4\pi}{c} j_z(x, y, t). \quad (6)$$

Поле внутри объема миксины сшивается стандартным образом с полем плазменного объема

$$\{H_n\} = 0. \quad (7)$$

На поверхности миксины ставится условие непроницаемости

$$u_n|_{\mu} = 0.$$

\* Мы, следуя традиции, принятой в теории уравнения Грэда-Шафранова, обозначим  $A_z$  через  $\psi$ .

Для остальных искомым функций на поверхности миксины ставятся условия

$$\left. \frac{\partial f}{\partial n} \right|_{\mu} = 0. \quad (8)$$

Здесь везде  $n$  — нормаль к поверхности миксины.

В начальный момент времени  $t = 0$  находим распределение векторного потенциала, решая уравнение (6). При этом  $j_{\mu} = j_0$  — внутри объема миксины и  $j_{\mu} = 0$  — вне объема миксины. Граничные условия для (6) в начальный момент времени формулируются следующим образом: условия Неймана на линиях симметрии  $x = 0$ ,  $y = 0$ ; условие Дирихле  $\psi = 0$  на внешних границах  $x = 1$ ,  $y = 1$ .

Затем область заполняется полностью ионизованной плазмой с  $n = n_0(x, y)$  и  $T = T_0(x, y)$ . На внешних границах задается распределение векторного потенциала  $\psi$  в соответствии с (5).

Для решения уравнений (1)–(4) использовалась разностная схема с направленными разностями, а для решения уравнения Пуассона (6) применялся метод последовательной верхней релаксации (SOR) с ускорением. Типичные расчетные варианты содержали  $50 \times 50$  или  $100 \times 100$  расчетных ячеек, так что на область миксины приходилось от 10 до 20 расчетных ячеек в каждом направлении. Для контроля точности расчетов проверялся закон сохранения полной энергии системы, который выполнялся с точностью нескольких процентов.

Ниже приведены результаты расчетов двух режимов: базового  $\alpha$ -режима с постоянным током в миксинах и  $\alpha$ -режима с изменяющимся током в миксинах ( $\alpha\mu$ -режим). В настоящей работе расчеты проводились при разных размерах миксин, разных начальных параметрах плазмы, разных граничных условиях. Однако полученные результаты качественно близки друг к другу и поэтому ниже мы приведем только по одному примеру, относящемуся к каждому из указанных режимов.

На рис. 1 представлены (при  $n_0 = 1$ ,  $j_0 = -80$ ) силовые линии магнитного поля (пунктирная линия соответствует значению  $\psi = 0$ ), изолинии газодинамического давления плазмы и магнитобарическая характеристика  $p(\psi)$  (соответственно сверху вниз) для базового  $\alpha$ -режима. Для определения безразмерных значений  $\delta\psi$ ,  $\delta p$  между линиями уровня необходимо максимальное (минимальное) значение искомой функции разделить на двадцать равных частей. Значения экстремумов приведены в левом нижнем углу соответствующих графиков. В качестве времени формирования конфигурации  $\tau$  взято время, после которого вариации параметров

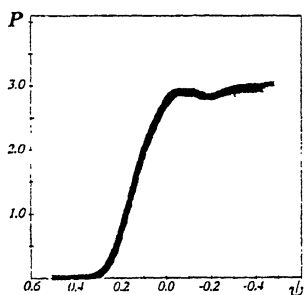
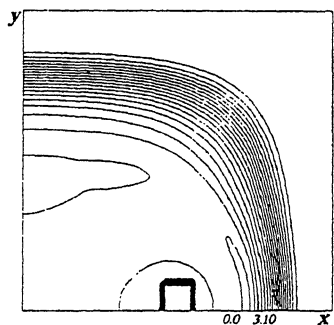
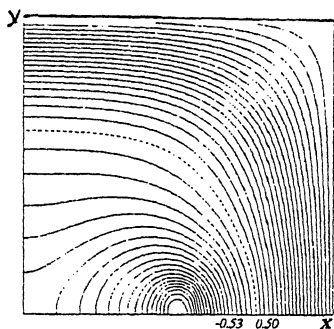


Рис. 1. Распределение параметров в квазистационарном  $\alpha$ -"Поясе".

$< 5\%$ . Характерной особенностью образующейся конфигурации является наличие контакта плазмы с поверхностью миксины. Отметим, что в экспериментах [3] сжатая плазма также вплотную подходит к миксинам. Видно, что  $p(\psi)$  с большой точностью представляет собой линейный сплайн типа того, который был использован в [2,5] при определении базового решения уравнения Грэда-Шафранова.

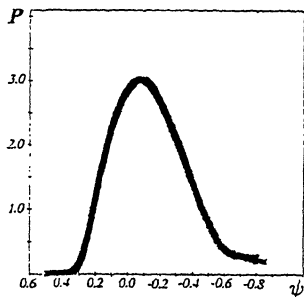
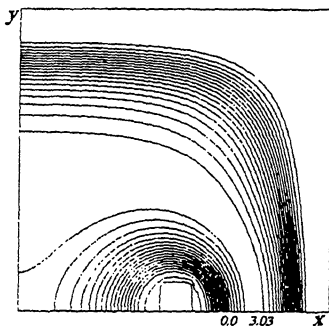
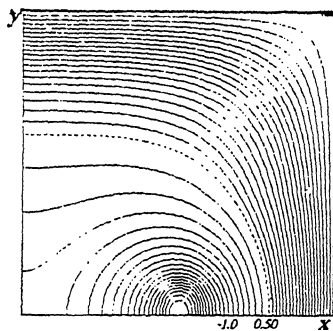


Рис. 2. Распределение параметров в квазистационарном  $\alpha\mu$ -“Поясе”.

В работе [5] были построены  $\alpha$ -конфигурации “очкового типа”, в которых плазма была “вырезана” в окрестностях миксин. Такие структуры будем называть “ $\alpha\mu$ -конфигурациями”. Они могут быть реализованы разными способами. Нами они были получены просто равномерным наращиванием токов в миксинах (от  $j_0 = -80$  до  $j_0 = -160$  за время  $\tau_{\mu=4}$ ), после того как вначале была создана базовая  $\alpha$ -конфигурация, описанная выше. На рис. 2 представлены силовые линии магнитного поля, изолинии газодина-

мического давления плазмы и магнитобарическая характеристика  $p(\psi)$  (соответственно сверху вниз)  $\alpha\mu$ -режима. Таким образом, в рамках численной модели, при сделанных предположениях, задача формирования плазменного "Пояса", оторванного от стенок камеры и от миксин, решена.

Авторы благодарят А.Г. Франк за содействие настоящему исследованию и плодотворное обсуждение полученных результатов. Работа выполнена при частичной поддержке Российского фонда фундаментальных исследований (грант 95-02-06054).

### Список литературы

- [1] Морозов А.И. // Физика плазмы. 1992. Т. 18. В. 3. С. 305-316.
- [2] Морозов А.И., Франк А.Г. // Физика плазмы. 1994. Т. 20. № 3. С. 982-989.
- [3] Богданов С.Ю., Марков В.С., Морозов А.И., Франк А.Г. // Письма в ЖТФ. 1995. Т. 21. В. 24. С. 5-9.
- [4] Савельев В.В. // Физика плазмы. 1995. Т. 21. С. 216.
- [5] Морозов А.И., Мурзина М.В. // Физика плазмы. 1996. Т. 22. № 6.
- [6] Брушлинский К.В., Горшенин К.П., Морозов А.И. // Письма в ЖТФ. 1995. Т. 21. В. 22. С. 67-71.

Институт вычислительных  
технологий СО РАН,  
ФНЦ "Курчатовский институт"

Поступило в Редакцию  
20 августа 1996 г.